

**Technická zpráva
pro fotovoltaický střídač
EGD2024-Z007**

Solax X1-BOOST-3.6K-G4

Platné pro řadu:

X1-BOOST-2.5K-G4

X1-BOOST-3K-G4

X1-BOOST-3.3K-G4

X1-BOOST-3.6K-G4

eg·d

ČLEN SKUPINY E.ON

Typ: Solax X1-BOOST-3.6K-G4
Verze FW: DSP: 1.0; ARM: 1.0
Sériové číslo: XB4036JB630027
Country setup: Czech 2023
Technická zpráva: EGD2024-007

Informace - střídač

Výrobce: Solax

Typ: X1-BOOST-3.6K-G4

Výkon: 3680 VA

Vstupní parametry DC: 40-560 V; 16/16 A I_{mmp} (22/22 A I_{sc})

Výstupní parametry AC: 230 V/ 50 Hz; 3680 VA (3680 W)

Účinník: 0,8_{ind} – 0,8_{kap}

Fáze: 1f

Hybridní: NE

Nastavený grid code: Czech 2023

Poznámka:

Pracoviště: Laboratoř čisté energetiky; EG.D, a.s

Datum měření: 27.8.2024

Datum vydání technické zprávy: 8. 10. 2024

Měření provedl: Ing. Tomáš Valta, tomas.valta@egd.cz

Odpovědný vedoucí: Ing. Jiří Čeleda, jiri.celeda@egd.cz

Seznam provedených testů

| | Legislativa | | Tech. zpráva | Detail požadavku | Detail měření | Splňuje |
|---|-------------|--------------------|--------------|--|---|---------|
| | Dokument | čl./kap. | | | | |
| Frekvenční stabilita | RfG | čl. 13.1 a) | 1 | Doba provozu $t = 30$ min pro $f 47,5 - 48,5$ Hz | $f 47,6$ Hz 5 min | ANO |
| | PPDS | 9.1.1 | | Doba provozu $t = 30$ min pro $f 51 - 51,5$ Hz | $f 51,4$ Hz 5 min | |
| RoCoF | RfG | čl. 13.1 b) | 2 | RoCoF - 2 Hz/s | Zvládá rampu 2 Hz/s | ANO |
| | PPDS | 9.1.1 | | | | |
| Snížení činného výkonu při nadfrekvenci | RfG | čl. 13.2 | 3 | Statika $s - 5 \%$ | 100 % $P_n - 5,01 \%$ 50 % $P_n - 5,07 \%$ | ANO |
| | PPDS | 9.3.1 | | Prahová frekvence 50,2 Hz | 50,2 Hz | |
| Snížení činného výkonu při podfrekvenci | RfG | čl. 13.4 a 13.5 | 4 | $f > 49$ dovolený pokles P o 2 %/Hz | 0 %/Hz | ANO |
| | PPDS | 9.3.2 | | | | |
| Logický modul | RfG | čl. 13.6 | 5 | Čas odpojení – max 5 s | Odpojení do 5 s. | ANO |
| | PPDS | 5.1 | | | | |
| Automatické opětovné připojení VM | RfG | čl. 13.7 | 6 | Gradient $P - \max 10 \%/min$ | 10 %/min | ANO |
| | PPDS | 9.5 | | Čas analýzy – min 300 s | 313 - 318 s | |
| | | | | Připojení mimo rozsah | NE | |
| Snížení činného výkonu při nadfrekvenci | PPDS | 9.3.1 | 3 | Prahová frekvence pro obnovu činného výkonu 50,05 Hz | ANO | ANO |
| | | | | Gradient nárůstu činného výkonu | <10 %/min | |
| | | | | Nárůst činného výkonu při limitaci $P(f)$ křivkou | Žádný nárůst činného výkonu během limitace | |
| Ověření jmenovitého výkonu | PPDS | 2 | 7 | $P_n (\cos = 1) = 3,6$ kW | $P = 3,8$ kW | ANO |
| Napěťová stabilita | PPDS | 9.1.2 | 8 | Trvalý provoz 0,85 -1,1 U_n | 0,86 U_n 10 min | ANO |
| | | | | | 1,09 U_n 10 min | |
| Překlenutí podpětí | PPDS | 9.2.2.1 | 9 | Křivka URVT dle PPDS | Překlenul UVRT | ANO |
| Překlenutí přepětí | PPDS | 9.2.2.2 | 10 | Křivka ORVT dle PPDS | Překlenul OVRT | ANO |
| Funkce $P(U)$ | PPDS | 9.3.5 | 11 | Nastaveno dle EG.D | $P(U)$ odpovídá nastavení | ANO |
| | | | | Odezva P na změnu U $\tau = 5$ s | Naměřené $\tau = 5$ s | ANO |
| Funkce $Q(U)$ | PPDS | 9.4.2 | 11 | Nastaveno dle EG.D | $Q(U)$ odpovídá nastavení | ANO |
| | | | | Odezva Q na změnu U $\tau = 20$ s | Naměřené $\tau = 20$ s | ANO |
| Nastavení ochran | SoP | | 12 | Nastaveno dle EG.D | | ANO |
| Obnovení P po krátkodobém poklesu U | PPDS | 9.2.2.4 | 13 | Pokud $U > 85 U_n$, obnova P do 1 sekundy. | Není vyžadováno po VM A1. | |

Informace - testy

| | |
|---------------------------|------------|
| Počet provedených testů | 13 |
| Vyhovělo | 13 |
| Nevyhovělo | 0 |
| Neprovedeno | 0 |
| Celkové hodnocení střídač | Vyhovující |

Potvrzení

Testování střídače probíhalo dle jednotné národní metodiky ověření souladu pro nesynchronní VM A1/A2 umístěné na webu www.egd.cz/laborator.

Testování bylo provedeno pro:

Technická zpráva

Obsah

| | |
|---|----|
| Zkratky | 7 |
| Legislativa | 7 |
| Testovací systém | 8 |
| Vztažné jednotky | 9 |
| 1. Frekvenční stabilita | 10 |
| 2. Časová změna frekvence RoCoF | 12 |
| 3. Snížení činného výkonu při nadfrekvenci | 13 |
| 4. Snížení činného výkonu při podfrekvenci | 17 |
| 5. Logický modul pro přerušení dodávky činného výkonu | 19 |
| 6. Automatické opětovné připojení k soustavě | 20 |
| 7. Ověření jmenovitého výkonu střídače | 23 |
| 8. Napěťová stabilita | 24 |
| 9. Překlenutí podpětí – křivka UVRT | 25 |
| 10. Překlenutí přepětí – křivka OVRT | 27 |
| 11. Funkce P(U) a Q(U) | 29 |
| 12. Ochrany | 32 |
| 13. Obnovení činného výkonu po krátkodobém poklesu napětí | 39 |
| Závěr | 39 |
| Příloha | 40 |
| Příloha č.1 – Nastavení střídače | 41 |
| Příloha č.2 – Datasheet | 43 |

Zkratky

| | |
|-------|---|
| P | Činný výkon (W) |
| Q | Jalový výkon (VAr) |
| S | Zdánlivý výkon (VA) |
| U | Napětí (V) |
| f | Frekvence (Hz) |
| I | Elektrický proud (A) |
| s | Statika (%) |
| VM | Výrobní modul |
| DS | Distribuční soustava |
| TZ | Technická zpráva |
| RoCoF | Rate of change of frequency – časová změna frekvence (Hz/s) |
| AC | Střídavý proud |
| DC | Stejnoseměrný proud |

Legislativa

PPDS – Pravidla provozování distribučních soustav – příloha č. 4: Pravidla pro paralelní provoz výroben a akumulčních zařízení se sítí provozovatele distribučních soustav

Interní připojovací podmínky společnosti EG.D

RfG - Requirements for Generators NAŘÍZENÍ KOMISE (EU) 2016/631

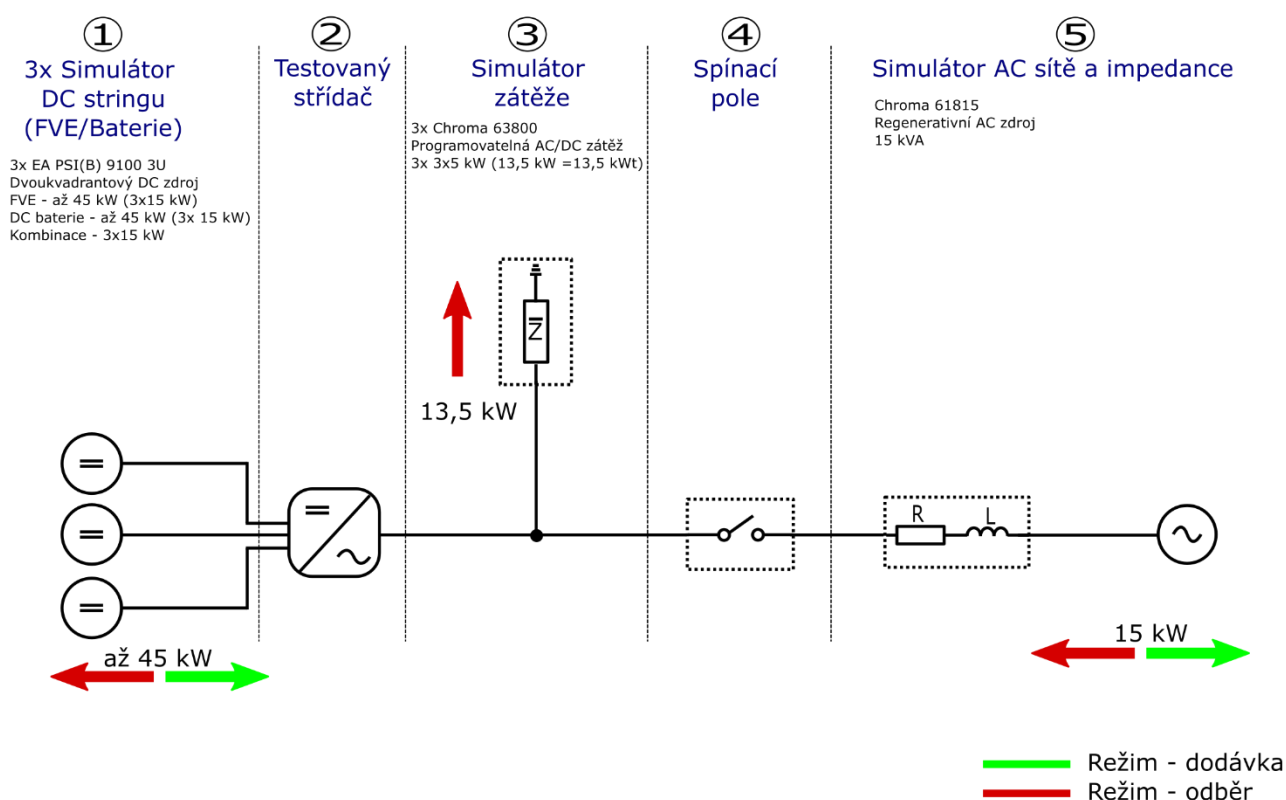
EN 50549 - Requirements for generating plants to be connected in parallel with distribution networks
- Part 1: Connection to a LV distribution network - Generating plants up to and including Type B

Testovací systém

Schéma zobrazuje zapojení testovacího systému, na kterém se provádí ověřování požadavků kladených na testovaný střídač. Fotovoltaické panely jsou zde zastoupeny stejnosměrným zdrojem (Simulátor DC stringu), na kterém je možné namodelovat požadovanou PV charakteristiku. Při modelování PV charakteristiky se vychází ze vstupních parametrů střídače (U_{oc} , I_{sc} , U_{mppt} , I_{mppt}). Stejnosměrný zdroj také plní funkci bateriového uložení.

Simulátor zátěže lze využít pro namodelování libovolného zařízení. Díky tomu je možné sledovat reakci střídače na různý typ zařízení např. v domácnosti.

Simulátor AC sítě je využíván jako umělá distribuční síť, kde je možné měnit parametry sítě (napětí U a frekvence f). Je zde možné libovolně nasimulovat různé jevy, které mohou v distribuční síti vzniknout a sledovat odezvu střídače na tyto jevy.



Ověřování parametrů probíhá pomocí kvalimetru elektrické energie, který je pro vyhodnocení nastaven na 200 ms RMS hodnoty pro zkoušky trvající jednotky sekund až minut. Pro krátké děje je měření nastaveno na 10 ms RMS hodnoty.

Vztažné jednotky

V celé TZ jsou jednotky v grafech uváděny v poměrných jednotkách. Vztažné hodnoty jsou následující:

P_n – 3300 W

Q_n – 1438 VAr pro Q(U) křivku

U_n – 230 V

1. Frekvenční stabilita

Legislativa: PPDS – kap.9.1.1, návaznost: RfG – čl.13.1 a), EN50549 – kap.4.4.2

1.1. Požadavek:

VM A1 musí zůstat připojen k soustavě a pracovat v rozsahu frekvencí uvedených v tabulce (*tab.1.1*).

Tab.1.1: Frekvenční rozsah

| Rozsah frekvence | Min doba provozu |
|------------------|------------------|
| 47,5 - 48,5 Hz | 30 min |
| 48,5 - 49 Hz | 90 min |
| 49 - 51 Hz | bez omezení |
| 51 - 51,5 Hz | 30 min |

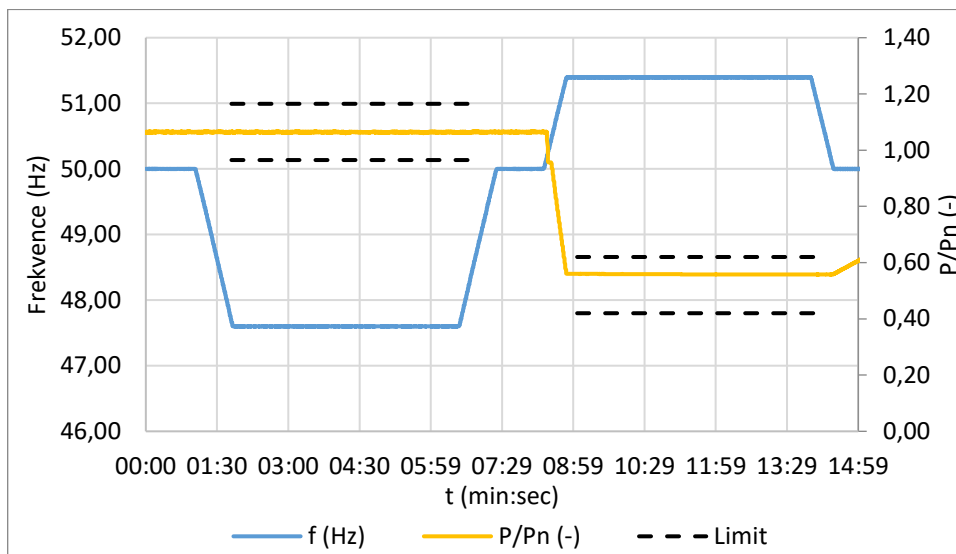
1.2. Průběh zkoušky:

Střídač je připojen k umělé DS. Před spuštěním zkoušecí sekvence byl střídač ponechán na jmenovitých hodnotách napětí a frekvence po dobu 60 sekund. Poté došlo ke změně frekvence na hodnotu 47,6 Hz během 48 sekund. Tato frekvence je volena pro ověření nejnižšího frekvenčního rozsahu, který PPDS požaduje (*tab.1.1*). Na této frekvenci byl střídač provozován 5 minut (*obr.2.1*). Poté je frekvence vrácena během 48 sekund na jmenovitou frekvenci 50 Hz. Střídač je ponechán na jmenovitých parametrech po dobu 60 sekund, ty slouží pro ustálení střídače před zahájením druhé části zkoušecí sekvence.

Druhým testovaným rozsahem je frekvence 51,4 Hz. Ke změně frekvence dochází během 28 sekund. Na požadované frekvenci 51,4 Hz je střídač ponechán 5 minut. Poté je během 28 sekund frekvence vrácena na jmenovitou hodnotu 50 Hz. Během provozu při nadfrekvenci dochází ke snížení dodávky činného výkonu. Tento pokles je dán regulací činného výkonu, ke kterému dochází např. při nadfrekvenci (snížení činného výkonu při nadfrekvenci) viz. kapitola 3 této TZ. Průběh testu na přiloženém grafu (*obr.2.1*).

U střídače nesmí dojít v průběhu testu k odpojení. Pokud se u střídače vyskytnou náhodné kmity během testu je frekvenční stabilita vyhodnocena jako nesplněno. Tolerovány jsou kmity v rozmezí $\pm 10 \% P_N$, které jsou přítomny po dobu celého testu. V průběhu testu může střídač omezit svůj výkon dle $P(f)$ křivek. Činný výkon slouží pro doložení funkčnosti střídače během poklesu frekvence.

Grafy:



Obr.1.1: Frekvenční stabilita

1.3. Výsledek:

| Testovaný rozsah | Čas testu | Vyhovující | Celkové hodnocení |
|------------------|-----------|------------|-------------------|
| 47,6 Hz | 5 min | ANO | ANO |
| 51,4 Hz | 5 min | ANO | |

2. Časová změna frekvence RoCoF

Legislativa: PPDS – kap.9.1.1, návaznost: RfG – čl.13.1.b), EN50549 – kap.4.5.2

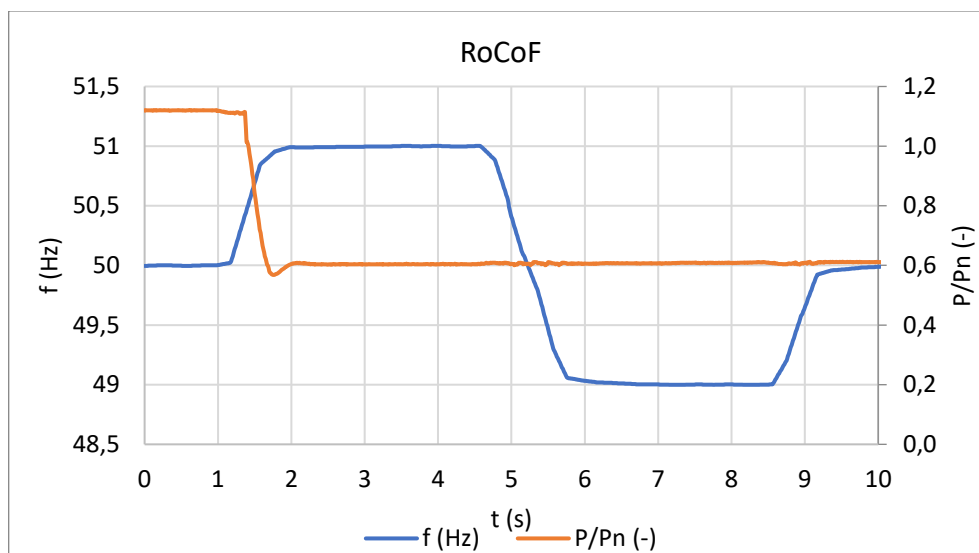
2.1. Požadavek:

Nesynchronní VM musí disponovat schopností RoCoF. V případě změny frekvence do ± 2 Hz/s nesmí dojít k odpojení VM od soustavy.

2.2. Průběh zkoušky:

Pro ověření je použita rampa 2 Hz/s. Po ustálení parametrů střídače je na AC straně změněna frekvence s rampou 2 Hz/s. Nejdříve je frekvence zvýšena z 50 Hz na 51 Hz za 500 ms (rampa 2 Hz/s). Z frekvence 51 Hz dochází k poklesu na 49 Hz za 1000 ms (rampa 2 Hz/s). Poslední změnou testovací sekvence je návrat z 49 Hz na 50 Hz za 500 ms (rampa 2 Hz/s). Průběh zkoušky na *obr.2.1*.

Grafy:



Obr.2.1: RoCoF

2.3. Výsledek:

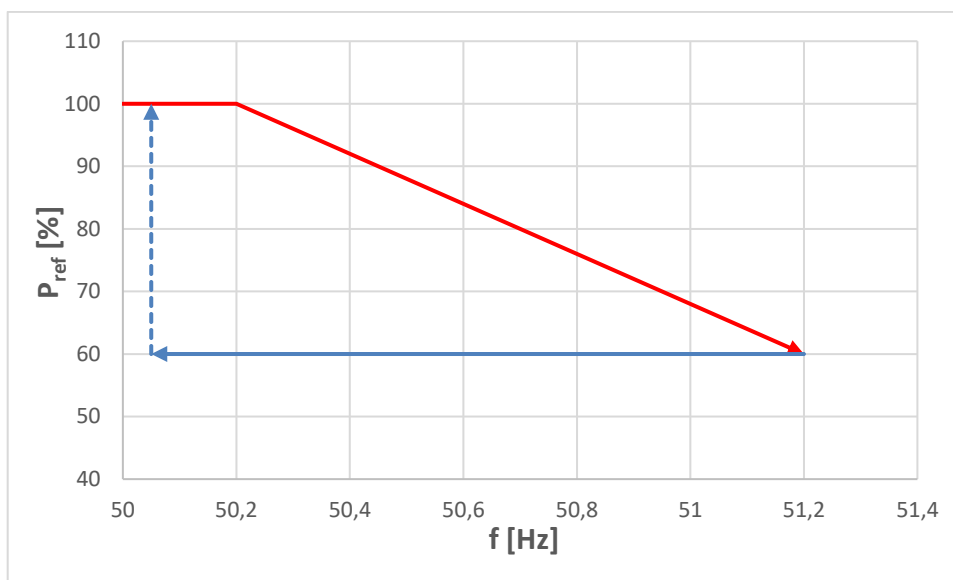
| | |
|---------------------------|------------|
| Testovaná změna frekvence | Vyhovující |
| 2 Hz/s | ANO |

3. Snížení činného výkonu při nadfrekvenci

Legislativa: PPDS – kap.9.3.1, návaznost: RfG – čl.13.2, EN50549 – kap.4.6.1

3.1. Požadavek:

Střídač musí být schopen poskytnout frekvenční odezvu činného výkonu dle určené regulační charakteristiky (*obr.3.1*). Prahová hodnota aktivace musí být nastavitelná od 50,05 Hz včetně do 52 Hz. Statika s musí být volitelná mezi 4 – 10 %. Jako výchozí hodnoty PPDS jsou uvedeny hodnoty prahové frekvence 50,2 Hz, statika 5 %. Při návratu frekvence na jmenovitou hodnotu 50 Hz, musí VM setrvat na aktuální hodnotě činného výkonu. K opětovnému nárůstu činného výkonu může dojít při frekvenci <50,05 Hz s gradientem činného výkonu 10 %/min. P_{ref} je aktuální hodnota činného výkonu na výstupu při dosažení prahové frekvence.



Obr.3.1: Regulační charakteristika pro frekvenční odezvu při nadfrekvenci

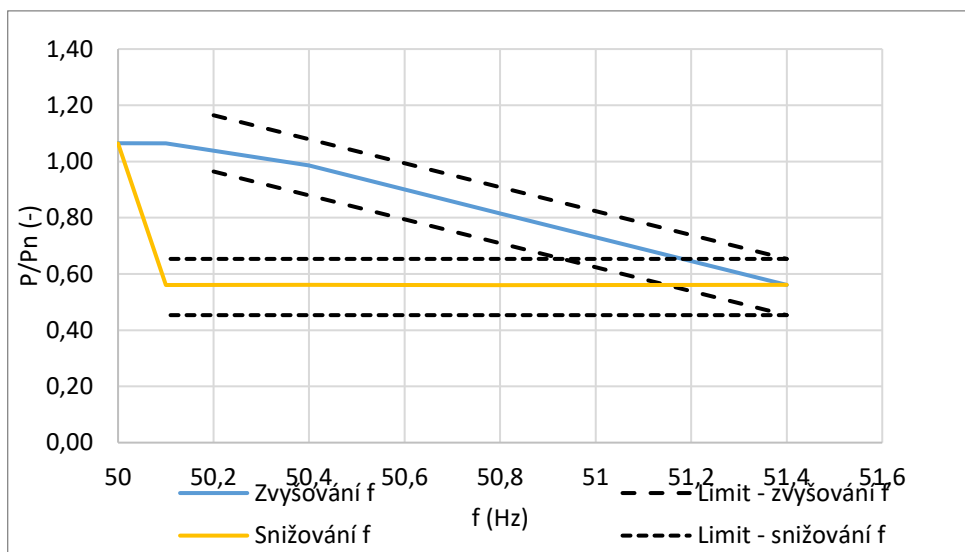
3.2. Průběh zkoušky:

Na AC simulátoru je zvyšována frekvence skokově v sekvenci 50-50,1-50,4-50,9-51,4 Hz a zpět. Frekvence je měněna vždy po jedné minutě. Je sledována odezva činného výkonu na změny frekvence. Vyhodnocení probíhá vždy ve dvou výkonových stupních, např. 100 a 50 % P_n .

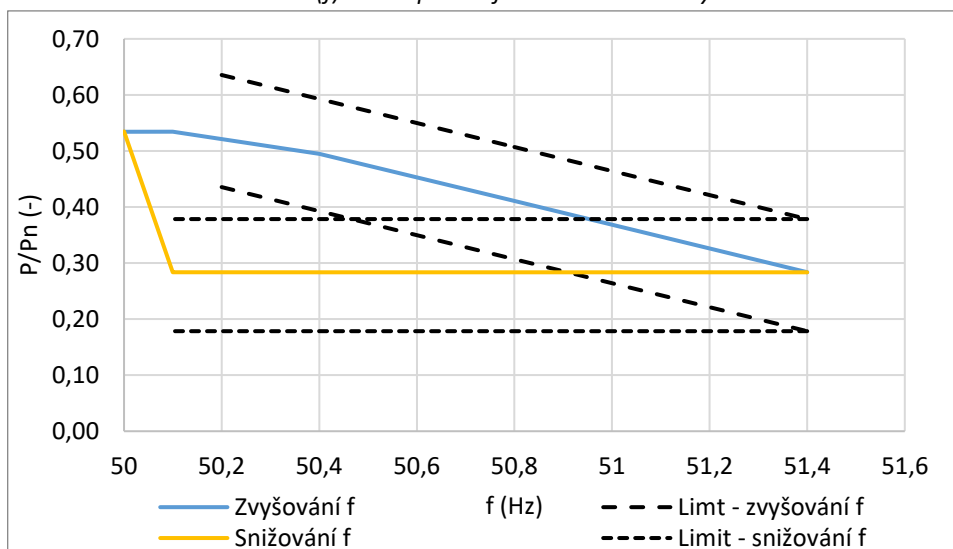
Poslední částí zkoušky (*obr. 3.4*) je zvýšený dostupného výkonu na DC vstupu střídače během doby, kdy došlo k omezení činného výkonu kvůli nárůstu frekvence. Zkouška je prováděna při cca 50 % P_n a frekvenci 50,8 Hz. Výkon na DC straně střídače je zvýšen o 20 %, přičemž výkon na AC straně se nesmí zvýšit. Střídač tuto zkoušku splnil.

Snížení činného výkonu musí splňovat statiku 5 % s maximální odchylkou ± 10 % PN. Pokles činného výkonu musí začít v intervalu frekvence 50,2 – 50,8 Hz. K opětovnému nárůstu činného výkonu musí dojít v intervalu frekvence 50,1 – 50 Hz. Ve třetím testu při zvýšení PDC o 20 % nesmí dojít ke zvýšení výkonu střídače.

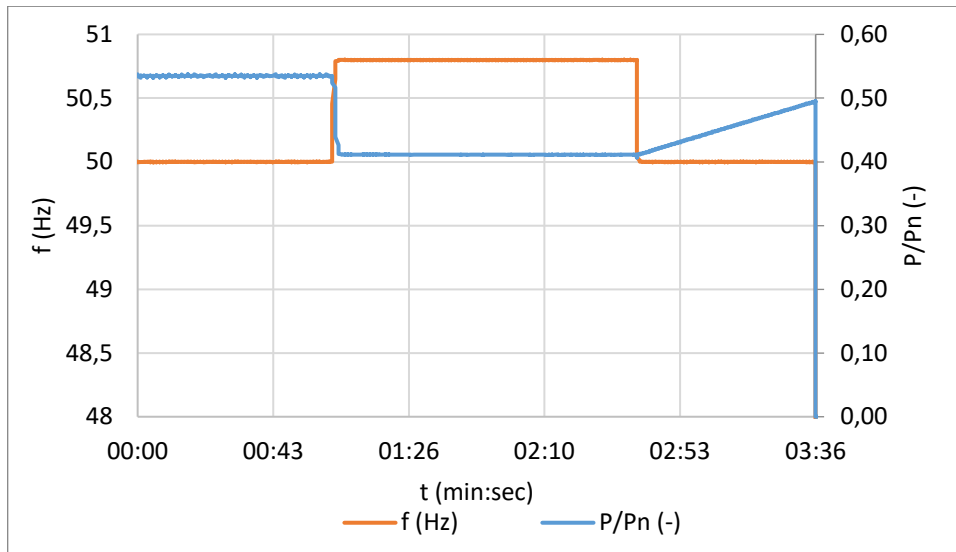
Grafy:



Obr.3.2: $P(f)$ křivka při nadfrekvenci – 100 % výkonu



Obr.3.3: $P(f)$ křivka při nadfrekvenci – 50 % výkonu



Obr.3.4: Navýšení činného výkonu během omezení $P(f)$ křivky

3.3. Výsledek:

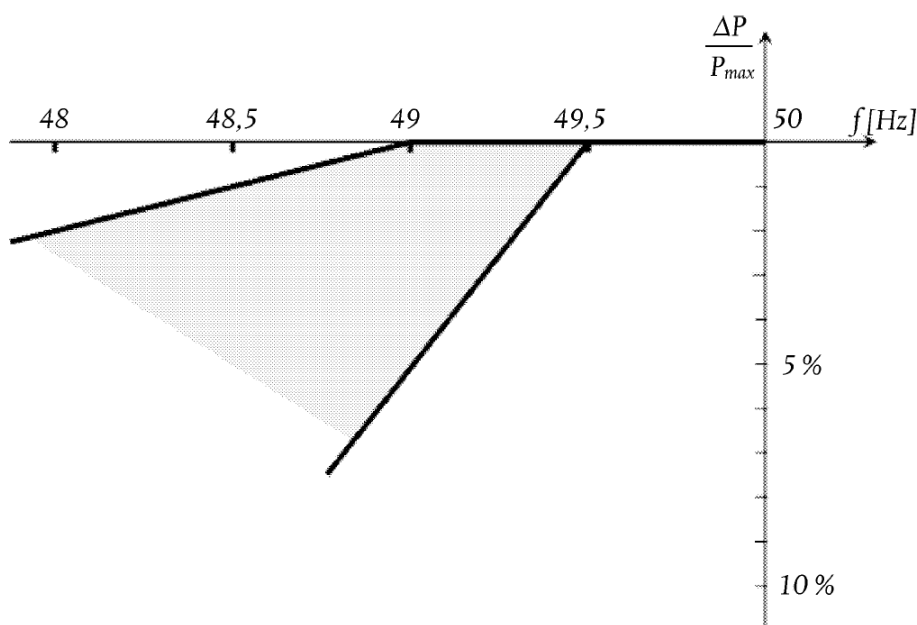
| Výsledná tabulka – 100 % | | Vyhovující | Celkové vyhodnocení | |
|----------------------------|----------------------------|------------|---------------------|-----|
| Frekvence (Hz) | Činný výkon (W) | | | |
| 50 | 3834,0 | - | | |
| 50.1 | 3833,6 | | | |
| 50.4 | 3547,8 | | | |
| 50.9 | 2933,7 | | | |
| 51.4 | 2019,6 | | | |
| 50.9 | 2018,6 | | | |
| 50.4 | 2018,6 | | | |
| 50.1 | 2018,6 | | | |
| 50 | 3831,9 | | | |
| Statika (%) | 5,01 | | | ANO |
| Návratová frekvence | <50,05 Hz | ANO | | |
| Gradient | <10 %/min | ANO | | |
| Výsledná tabulka – 50 % | | Vyhovující | | |
| Frekvence (Hz) | Činný výkon (W) | | | |
| 50 | 1923,4 | - | | |
| 50.1 | 1923,8 | | | |
| 50.4 | 1781,8 | | | |
| 50.9 | 1479,1 | | | |
| 51.4 | 1021,2 | | | |
| 50.9 | 1021,1 | | | |
| 50.4 | 1021,0 | | | |
| 50.1 | 1021,0 | | | |
| 50 | 1925,5 | | | |
| Statika (%) | 5,07 | | | ANO |
| Návratová frekvence | <50,05 Hz | ANO | | |
| Gradient | <10 %/min | ANO | | |
| Nárůst výkonu na DC straně | Nárůst výkonu na AC straně | Vyhovující | | |
| O 20 % | 0 % | ANO | | |

4. Snížení činného výkonu při podfrekvenci

Legislativa: PPDS – kap.9.3.2 Návaznost: RfG – čl.13.4 a 5, EN50549 – kap.4.4.3

4.1. Požadavek:

Pokud není VM schopen udržet konstantní dodávku činného výkonu při poklesu frekvence, má možnost společně s klesající frekvencí snížit i dodávaný činný výkon do sítě. Požadavek PPDS na VM je dán horní (přísnější) čarou (obr.4.1), a tedy pokles pod frekvenci 49 Hz může způsobit pokles činného výkonu o 2 %/Hz. Provozovatel PS může v případě stanovit jiné snížení činného výkonu, které musí být ve vymezené oblasti. Druhá čára má pokles stanovený od 10 %/Hz při poklesu frekvence pod 49,5 Hz. Snížení platí pro jmenovité podmínky okolního prostředí stanovené výrobcem. Pokud VM není schopen plnit tyto požadavky, je potřeba doložit technickou studii PDS.

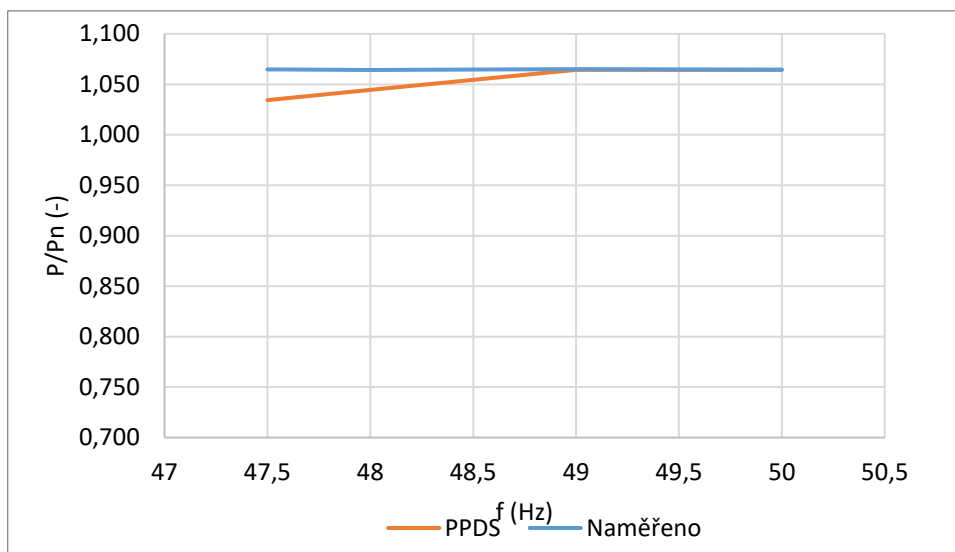


Obr.4.1: Regulační oblast pro snížení činného výkonu při podfrekvenci

4.2. Průběh zkoušky:

Dle požadavku PPDS může dojít k poklesu činného výkonu maximálně o 2 % P_{max} /Hz při poklesu frekvence pod 49 Hz. Tento požadavek byl otestován současně s požadavkem na frekvenční stabilitu (TZ kapitola 1), kdy byla frekvence snížena na hodnotu 47,6 Hz. Z kapitoly 1 této TZ.

Grafy:



Obr.4.2: Naměřená vs požadovaná křivka $P(f)$ při snižující se frekvenci

4.3. Výsledek:

| Dovolený pokles činného výkonu | Naměřený pokles činného výkonu | Vyhovující |
|--------------------------------|--------------------------------|------------|
| Pod 49 Hz max 2 %/Hz | 0 % | ANO |

5. Logický modul pro přerušení dodávky činného výkonu

Legislativa: PPDS – kap.5.1, návaznost: RfG – čl.13.6, EN50549 – kap.4.11.1

5.1. Požadavek:

Střídač musí disponovat logickým rozhraním, přes které musí být možné do 5 sekund přerušit dodávku činného výkonu na výstupu. Pokyn může být obdržen např. pomocí HDO. Odpínací prvek musí zůstat funkční i po silovém odpojení výrobní z paralelního provozu.

5.2. Průběh zkoušky:

Po spojení příslušných pinů došlo k přerušení dodávky činného výkonu do 5 sekund.

5.3. Výsledek:

| Čas odpojení – požadavek | Čas odpojení – měření | Vyhovující |
|--------------------------|-----------------------|------------|
| ≤ 5 s | ≤ 5 s | ANO |

6. Automatické opětovné připojení k soustavě

Legislativa: PPDS – kap.9.5, návaznost: RfG – čl.13.7, EN50549 – kap.4.10.2

6.1. Požadavek:

Automatické připojení je povoleno, pokud příslušný provozovatel DS v koordinaci s příslušným provozovatelem PS nestanoví jinak a provozovatel DS nezakázal opětovné připojení z důvodu řízení činného výkonu v závislosti na provozních podmínkách (např. vysláním omezovacího signálu 0 %)

Došlo-li k odpojení střídače od sítě z důvodů odchylek napětí nebo frekvence, může se střídače automaticky připojit k síti po splnění kritérií:

1. Napětí a frekvence je po dobu 300 s (5 min) v mezích
 - a. Napětí U : 0,85-1,1 U_n
 - b. Frekvence f : 47,5-50,05 Hz
2. Dodávaný výkon P musí od nuly najíždět s gradientem 10 %/min

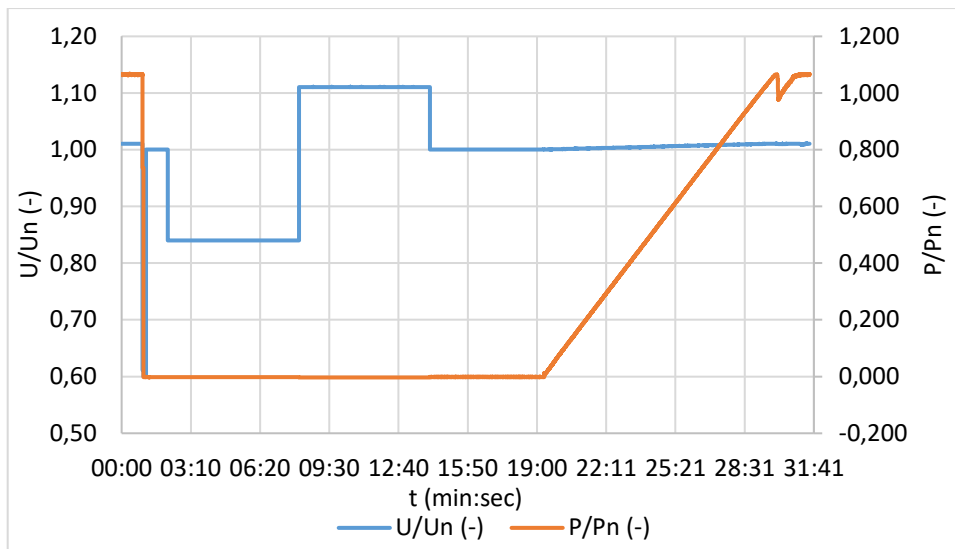
V případě, že není střídač schopen splnit bod 2., může se po předchozí koordinaci s PDS připojit v intervalu 0-20 min.

6.2. Průběh zkoušky

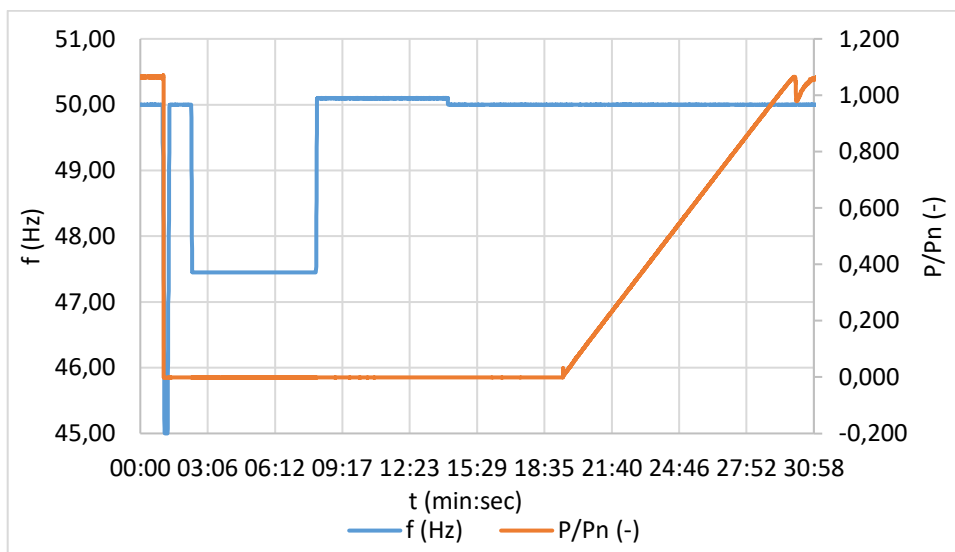
Střídač je uveden do provozu a před spuštěním zkoušecí sekvence je na dobu 60 sekund provozován na jmenovitých parametrech napětí a frekvence. Střídač je od umělé DS odpojen pomocí poruchy napětíového charakteru (*obr.6.1*) tím, že napětí je nastaveno na 0,6 U_n (138 V) po dobu 10 sekund. Poté je napětí vráceno na 1,0 U_n na 60 sekund, které opět slouží pro ustálení střídače. Po uplynutí této doby je napětí sníženo na hodnotu 0,83 U_n (190,9 V), kdy toto napětí se nachází mimo rozsah pro připojení. Napětí je na této hodnotě ponecháno po dobu 6 minut. Následně je napětí zvýšeno na 1,12 U_n (257,6 V), opět na 6 minut, pro ověření horního limitu rozsahu požadavku. Pro ověření gradientu je napětí vráceno na 1,0 U_n (230 V) a střídač je ponechán na této hodnotě, dokud nedojde k nárůstu činného výkonu.

Frekvenční rozsah je testován podobným způsobem. Střídač je nejdříve odpojen poruchou frekvenčního charakteru, tak že je frekvence snížena na 45 Hz na dobu 10 sekund. Poté je střídač provozován 60 sekund na jmenovitých parametrech, aby se zajistilo ustálení střídače. Jako první je testován spodní rozsah frekvence, ta je nastavena na 47,4 Hz na 6 minut. Dále je otestován horní rozsah frekvencí 50,15 Hz po dobu 6 minut. Na závěr je otestována doba pro analýzu sítě a gradient nárůstu činného výkonu, takže je frekvence vrácena na jmenovitou hodnotu 50 Hz.

Grafy:



Obr.6.1: Automatické připojení – napětí



Obr.6.2: Automatické připojení – frekvence

6.3. Výsledek:

| Automatické připojení - napětí | | | | Celkové vyhodnocení |
|-----------------------------------|----------------|-------------|------------|------------------------|
| | Požadováno | Naměřeno | Vyhovující | |
| Připojení mimo rozsah | Nepřipojení | Nepřipojení | ANO | ANO |
| Doba analýzy sítě | min 300 sekund | 313 sekund | ANO | |
| Gradient činného výkonu | max 10 %/min | 10 %/min | ANO | |
| Automatické připojení - frekvence | | | | |
| | Požadováno | Naměřeno | Vyhovující | |
| Připojení mimo rozsah | Nepřipojení | Nepřipojení | ANO | |
| Doba analýzy sítě | min 300 sekund | 318 sekund | ANO | |
| Gradient činného výkonu | max 10 %/min | 10 %/min | ANO | |

7. Ověření jmenovitého výkonu střídače

Legislativa: PPDS – kap.2, návaznost: RfG – čl.5, EN50549 – 3.2.1.

7.1. Požadavek:

Ověření jmenovitého výkonu střídače uváděného na štítku střídače.

7.2. Průběh zkoušky

AC simulátor je nastaven na své nominální hodnoty ($U_N = 230\text{ V}$, $f_N = 50\text{ Hz}$). Na DC simulátoru je nastaven výkon $1,2 P_{NAC}$.

7.3. Výsledek:

Očekávaný maximální výkon: 3,6 kW (při $\cos\phi=1$)

Naměřený maximální výkon: 3,8 kW

Vyhovuje: ANO

8. Napěťová stabilita

Legislativa: PPDS – kap.9.1.2., návaznost: RfG – nepožaduje, EN50549 – kap.4.4.4

8.1. Požadavek:

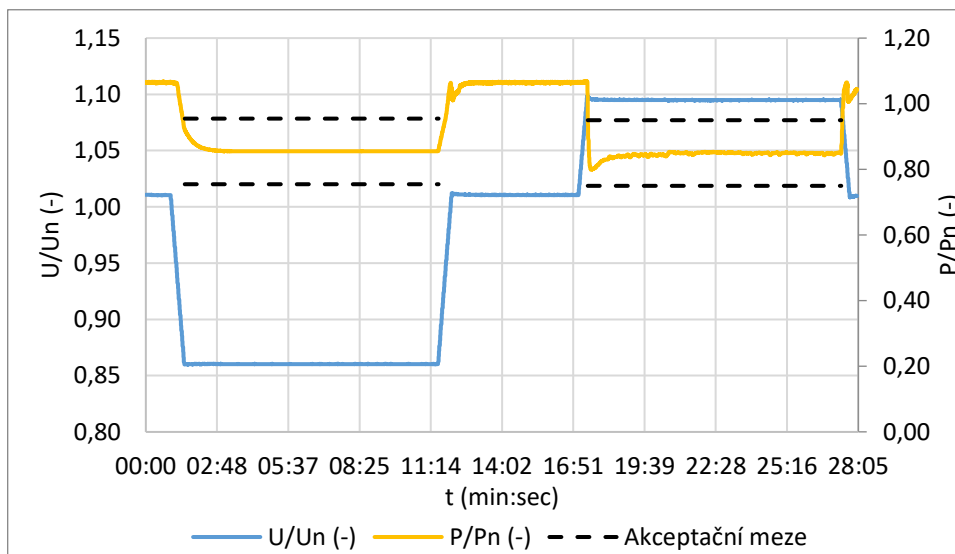
Střídač musí být schopen trvalého v provozu v napěťovém rozsahu $0,85 - 1,1 U_n$.

8.2. Průběh zkoušky:

Střídač je uveden do provozu při jmenovitých parametrech po dobu 60 sekund. Po ustálení všech parametrů střídači je na AC straně změněna velikost napětí během 32 sekund na $0,86 U_n$ (197,8 V) a na této hodnotě setrvává 10 minut, po kterých střídač pracuje stabilně. Po 10 minutách je test přerušeno a napětí vráceno na jmenovitou hodnotu $1,0 U_n$ (230 V) během 32 sekund a zde je střídač ponechán po dobu 5 minut.

Dále je otestován rozsah pro zvýšené napětí a je použita velikost $1,09 U_n$ (250,7 V). Hodnota napětí je zvýšena na $1,09 U_n$ během 21 sekund. Po dobu 10 minut je sledováno chování střídače, kdy opět dochází ke stabilnímu provozu. Napětí je během 21 sekund vráceno na jmenovitou hodnotu.

Grafy:



Obr.8.1: Napěťová stabilita

8.3. Výsledek:

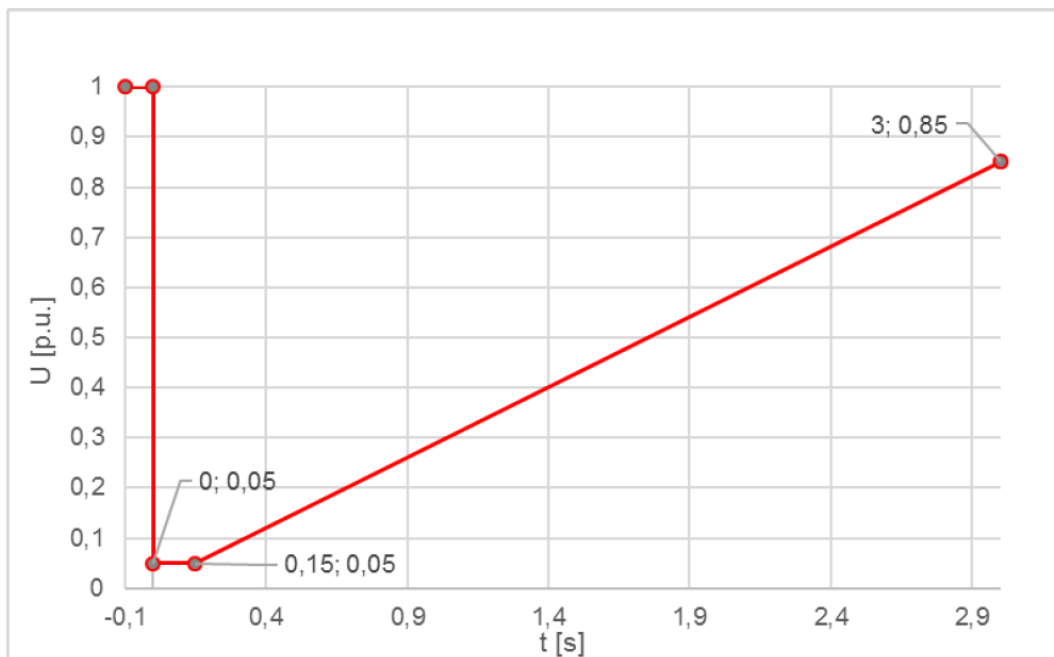
| Testovaný rozsah | Čas testu | Vyhovující | Celkové vyhodnocení |
|------------------|-----------|------------|---------------------|
| $0,86 U_n$ | 10 min | ANO | ANO |
| $1,09 U_n$ | 10 min | ANO | |

9. Překlenutí podpětí – křivka UVRT

Legislativa: PPDS – kap.9.2.2.1, návaznost: RfG -, EN50549 – kap.4.5.3

9.1. Požadavek

Střídač by se nesmí odpojit od DS při poklesu napětí, které odpovídá definované křivce – plná čára (obr.9.1). Pokud napětí klesne pod křivku, k odpojení může dojít.



Obr.9.1: Křivka UVRT

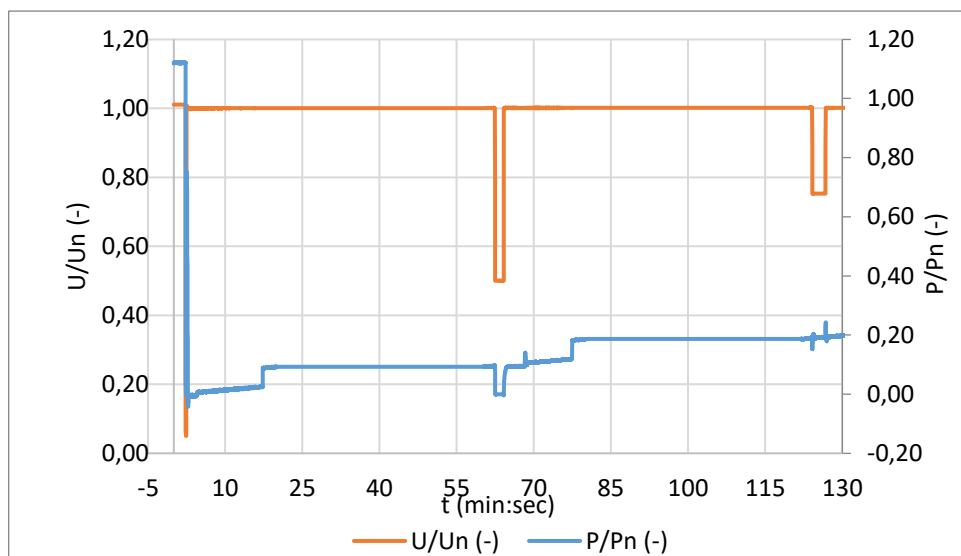
9.2. Průběh zkoušky:

Ochrana je uveden do provozu. Po ustálení je spuštěna sekvence odpovídající tab.9.1. Jednotlivé pokles jsou přiváděny na AC vstup ochrany po 60 sekundách. Pro splnění je potřeba tuto sekvenci překlenout 2x.

Tab.9.1: Testovací sekvence UVRT

| Značení | Pokles napětí | Doba trvání poklesu |
|---------|-------------------|---------------------|
| P.1 | 0,05 Un (11,5 V) | 0,15 s |
| P.2 | 0,5 Un (115 V) | 1,7 s |
| P.3 | 0,75 Un (172,5 V) | 2,6 s |

Grafy:



Obr.9.2: Křivka URVT – naměřeno

9.3. Výsledek:

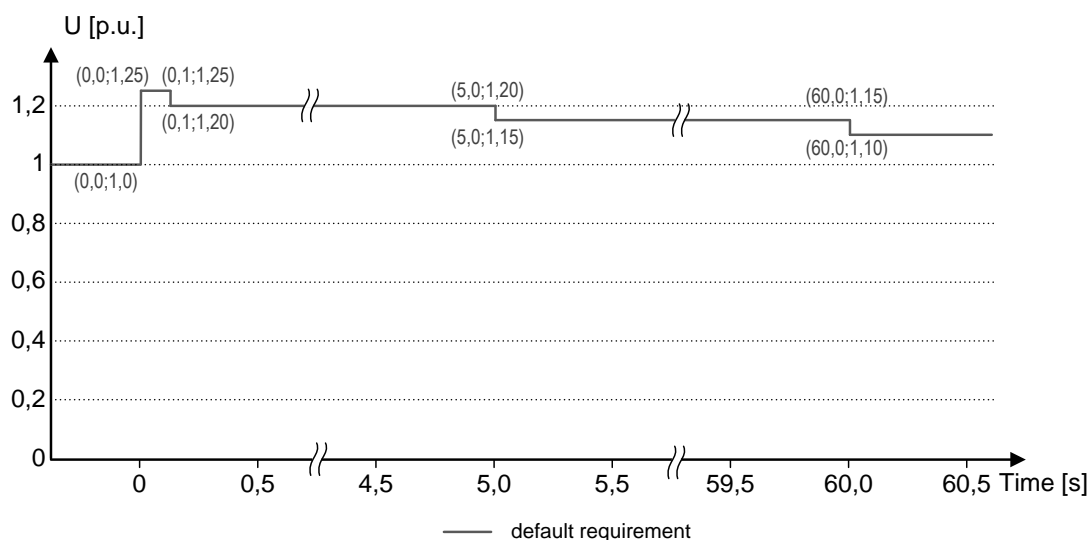
| Pokles | Vyhovující | Celkové hodnocení |
|--------|------------|-------------------|
| P.1 | ANO | ANO |
| P.2 | ANO | |
| P.3 | ANO | |

10. Překlenutí nadpětí – křivka OVRT

Legislativa: PPDS – kap.9.2.2.2, návaznost: RfG -, EN50549 – kap.4.5.4

10.1. Požadavek:

Střídač musí zůstat připojen k DS pokud napětí na svorkách nepřekročí mez definovanou křivkou ORVT určenou následujícím grafem (*obr.10.1*). Toto musí splňovat i všechna zařízení výroby, které by mohly způsobit odpojení.



Obr.10.1: Křivka ORVT

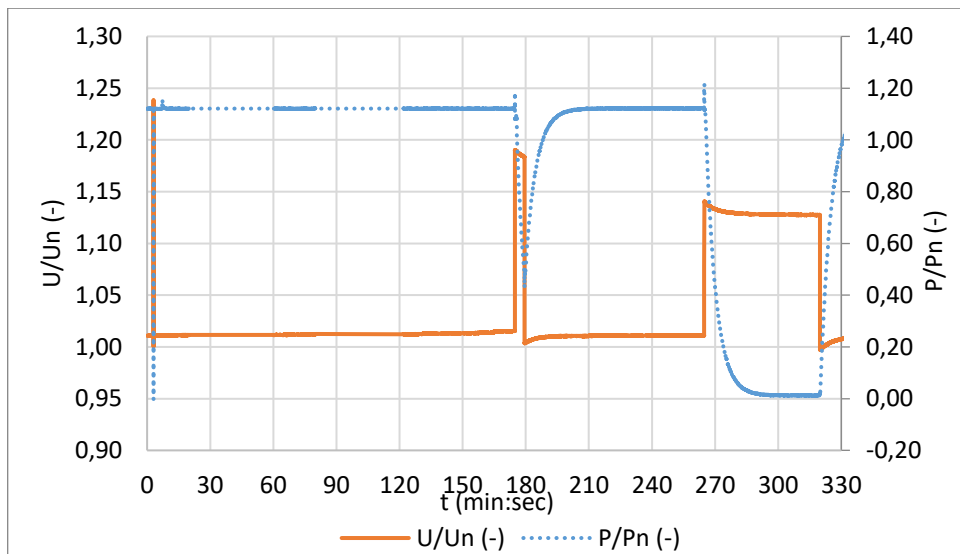
10.2. Průběh zkoušky:

Ověření schopnosti ochrany překlenout nadpětí a splnit křivku ORVT je rozděleno do tří stupňů dle tab.10.1

Tab.10.1: Testovací sekvence UVRT

| Značení | Nadpětí | Doba trvání poklesu |
|---------|----------------------|---------------------|
| N.1 | 1,23 U_n (282,9V) | 50 ms |
| N.2 | 1,18 U_n (271,4 V) | 4,5 s |
| N.3 | 1,13 U_n (264,5 V) | 55 s |

Grafy:



Obr.10.2: Křivka ORVT

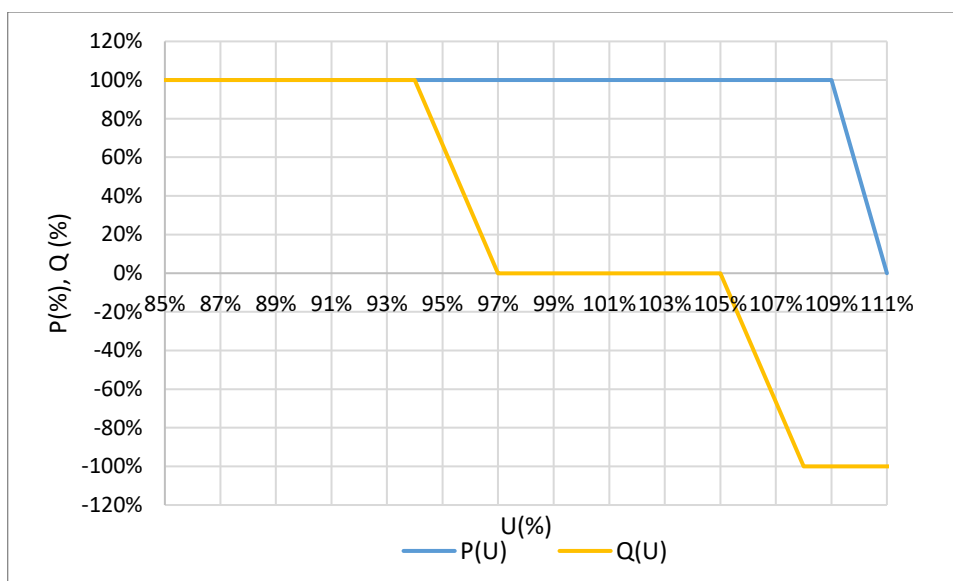
| Pokles | Vyhovující | Celkové hodnocení |
|--------|------------|-------------------|
| N.1 | ANO | ANO |
| N.2 | ANO | |
| N.3 | ANO | |

11. Funkce P(U) a Q(U)

Legislativa: PPDS – kap.9.3.5 a kap.9.4.2, návaznost: RfG -, EN50549 – kap.4.7.3 a kap.4.7.2.3.3

11.1. Požadavek

Výrobný připojené přes střídač k DS na hladině NN musí disponovat funkcí P(U). Regulační působení funkce P(U) požadováno společností EG.D je zobrazeno na následujícím obrázku (*obr.12.1*). Dále musí být výrobní schopna pracovat charakteristikou Q(U) (*obr.12.1*), která musí být plně nastavitelná. Nastavení Q(U) odpovídá požadavkům EG.D.



Obr.11.1: P(U) a Q(U) křivky požadovány EG.D

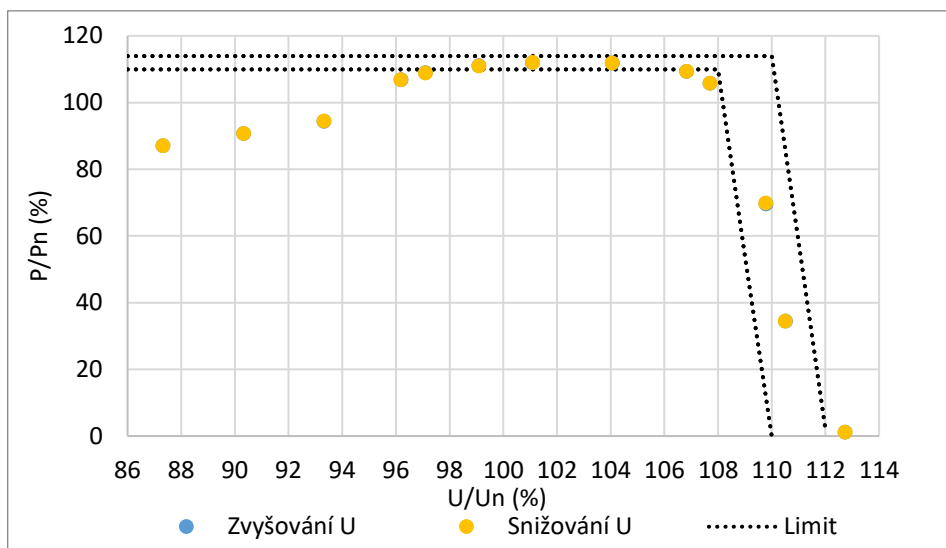
11.2. Průběh zkoušky:

Defaultní nastavení Q(U) křivky PPDS nenařizuje, ale umožňuje plné nastavení dle požadavků jednotlivého provozovatele DS.

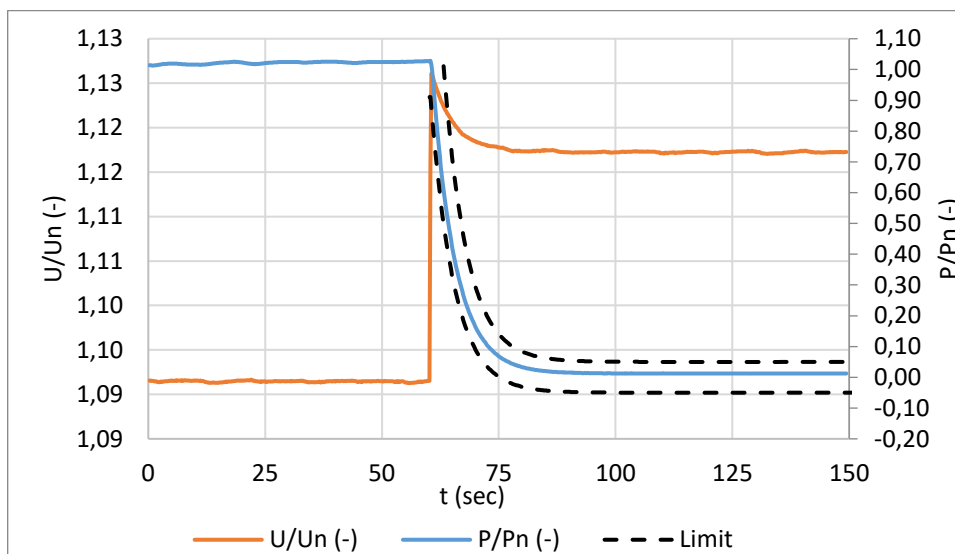
Křivka P(U) (*obr.11.2*) a křivka Q(U) (*obr.11.3*) jsou ověřovány postupným zvyšováním napětí z hodnoty 86 % Un na 112 % Un a zpět.

Na *obr.11.4* je zkoušeno dynamické chování jalového výkonu Q při skokové změně napětí U. Jalový výkon Q se zvětšuje s exponenciálním průběhem s časovou konstantou $\tau = 20$ sekundám.

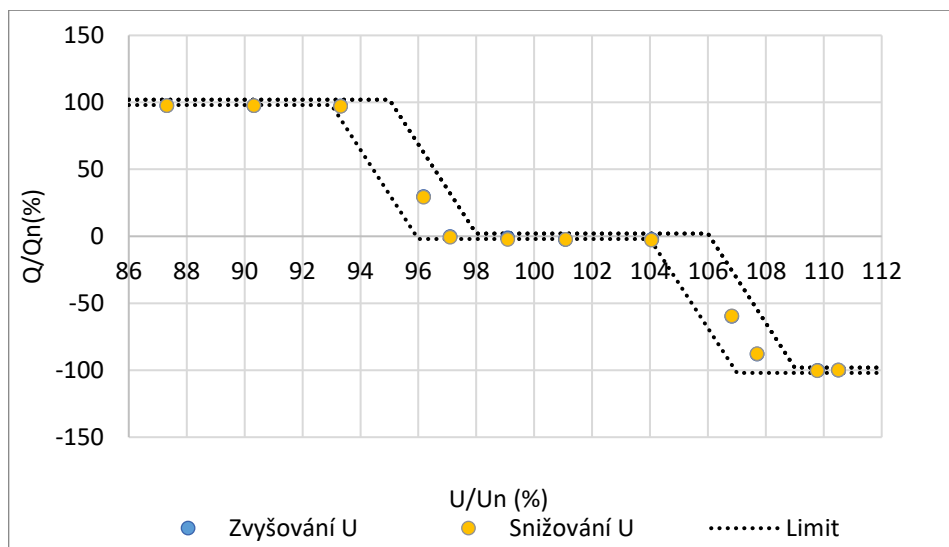
Grafy:



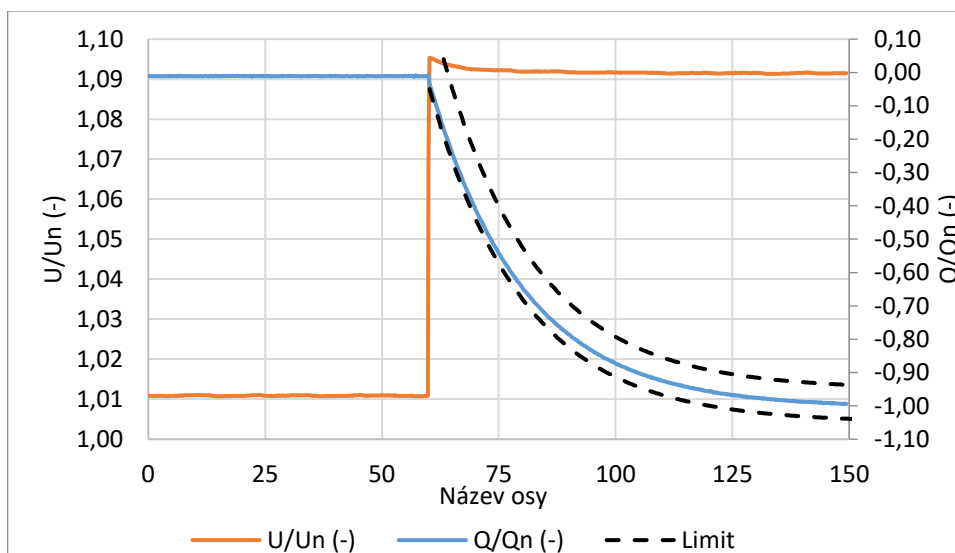
Obr.11.2: $P(U)$ – vyhodnocení



Obr.11.3: Dynamická odezva činného výkonu P na skokovou změnu napětí U



Obr.11.4: $Q(U)$ – vyhodnocení



Obr.11.5: Dynamická odezva jalového výkonu Q na skokovou změnu napětí U

11.3. Výsledek:

| Test | Vyhovující | Celkové vyhodnocení |
|--------------------|------------|---------------------|
| Křivka P(U) | ANO | ANO |
| Dynamická odezva P | ANO | |
| Křivka Q(U) | ANO | ANO |
| Dynamická odezva Q | ANO | |

U testu P(U) křivky se činný výkon dostává mimo akceptační mez, to je způsobeno dosažením maximálního zdánlivého výkonu společným působením Q(U) křivky. Toto chování je akceptovatelné.

12. Ochrany

Nastavení vychází ze SoP (smlouva o připojení) společnosti EG.D

12.1. Požadavek:

Nastavení prahových hodnot a zpoždění pro testování, uvádí tabulku níže (*tab.12.1*)

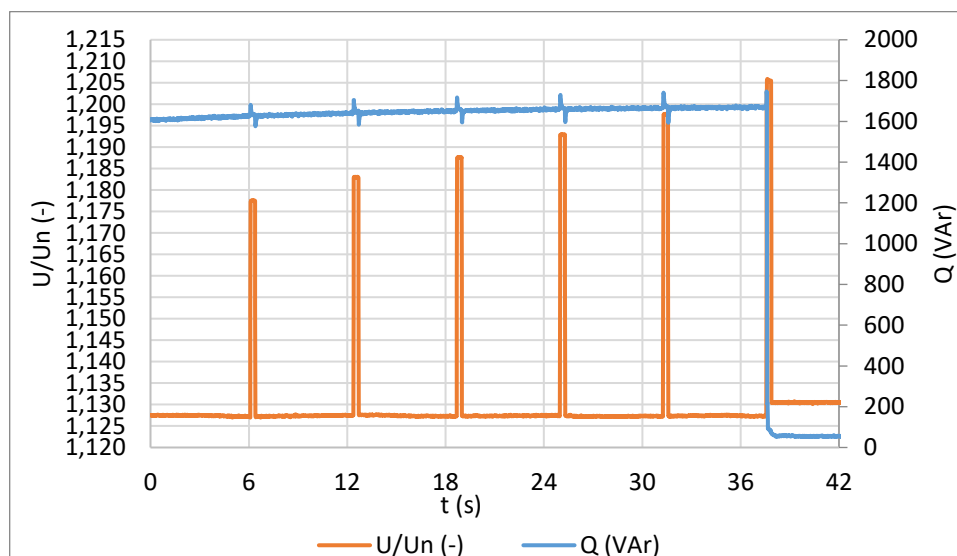
Tab.12.1: Nastavení ochran

| Funkce | | Nastavení pro vypnutí | Zpoždění [s] |
|----------------------------------|-------|-----------------------|--------------|
| Nadpětí 3. stupeň | U >>> | 1,2 Un | 0,1 |
| Nadpětí 2. stupeň | U >> | 1,15 Un | 5 |
| Nadpětí 1. stupeň ⁽¹⁾ | U > | 1,11 Un | 0 |
| Podpětí 1. stupeň | U < | 0,7 Un | 2,7 |
| Podpětí 2. stupeň | U << | 0,45 Un | 0,2 |
| Nadfrekvence | | 51,5 Hz | 0,1 |
| Podfrekvence | | 47,5 Hz | 0,1 |

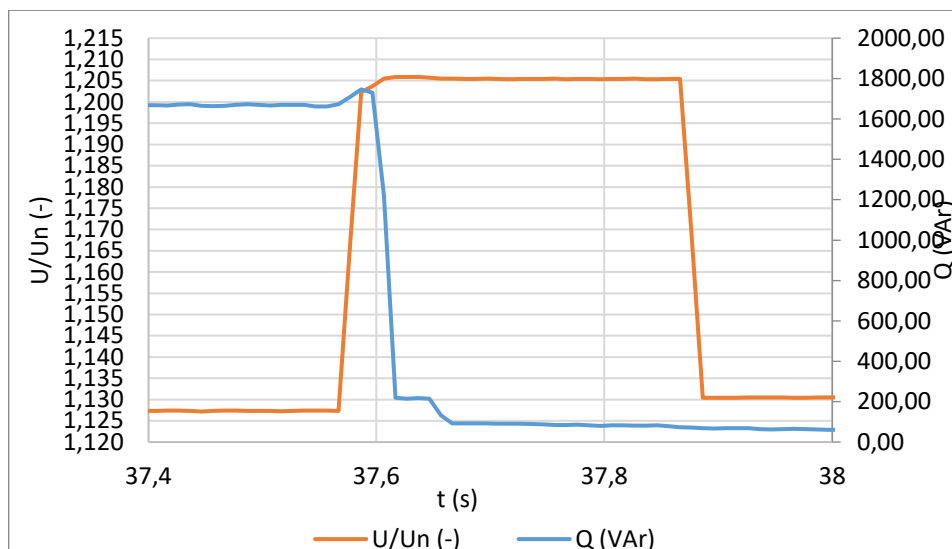
⁽¹⁾ Pokud nelze nastavit 1. nadpětí ochrana na desetiminutový průměr, tak je nastavena na 1,11 Un se zpožděním 60 s.

12.2. 3° nadpětí ochrany

Jako první ochrana je otestován 3° nadpětí ochrany. 3° nadpětí ochrana je testován impulzní rampou, kdy se napatí zvětšuje od hodnoty 1,18 Un po 0,05 Un až do doby vybavení ochrany.



Obr.12.1: 3. stupeň nadpětí ochrany – impulzní rampa

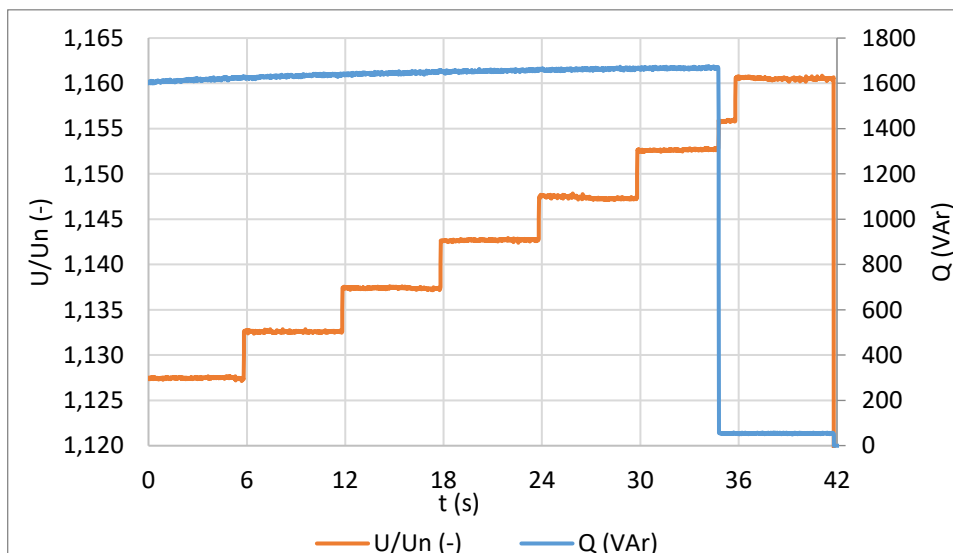


Obr.12.2: 3. stupeň nadpětové ochrany – detail

12.3. 2° nadpětové ochrany

2° stupeň nadpětové ochrany, má nastavené vybavení po 5 sekundách, pokud je napětí větší než 1,15 Un. Pro zkoušku tohoto stupně je schodovou rampou zvyšováno napětí z 1,18 Un po 0,05 Un až do vybavení ochrany.

Grafy:

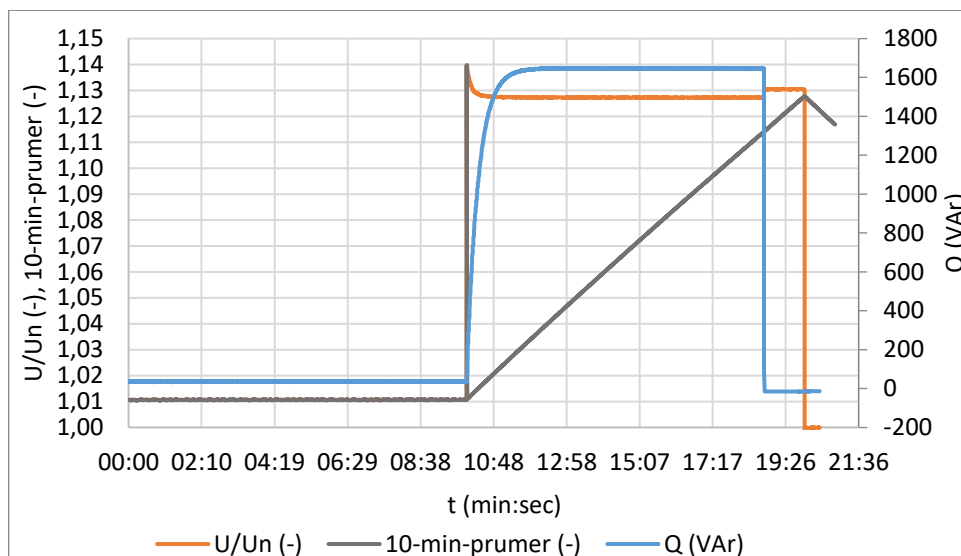


Obr.12.3: 2. stupeň nadpětové ochrany – schodová rampa

12.4. 1° nadpět'ové ochrany – 10 – min ochrana

1° stupněm nadpět'ové ochrany je ochrana fungující na principu 10 minutové střední hodnoty. Pokud je tedy v posledních 10 minutách střední hodnota napětí vyšší než 1,11 Un, ochrana musí vybavit. Z průběhu (*obr.12.4*) je zřejmé, že k odpojení střídače od umělé DS došlo při střední hodnotě 1,114 Un. Nejistota může být ±46,5 sekundy, v tomto případě je nejistota měření 24 sekund. Toto zafungování je vyhovující. U této zkoušky je zároveň otestován 3 stupeň křivky OVRT, který je vyhovující.

Grafy:

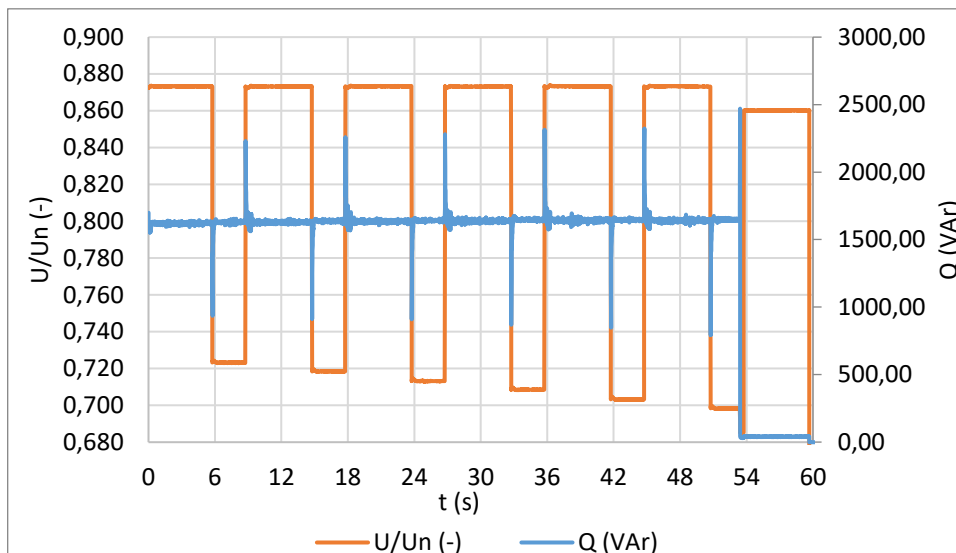


Obr.12.4: 10 min ochrana

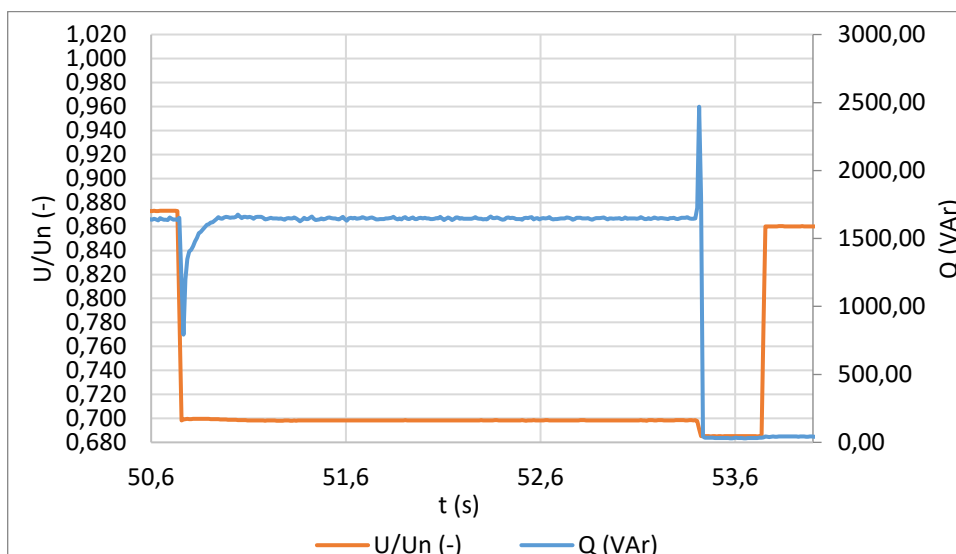
12.5. 1° podpěťové ochrany

1° podpěťová ochrana je testován impulzní rampou, kdy se napětí zmenšuje od hodnoty 0,72 Un po 0,05 Un až do doby vybavení ochrany.

Grafy:



Obr.12.5: Podpěťová ochrana 1.stupeň

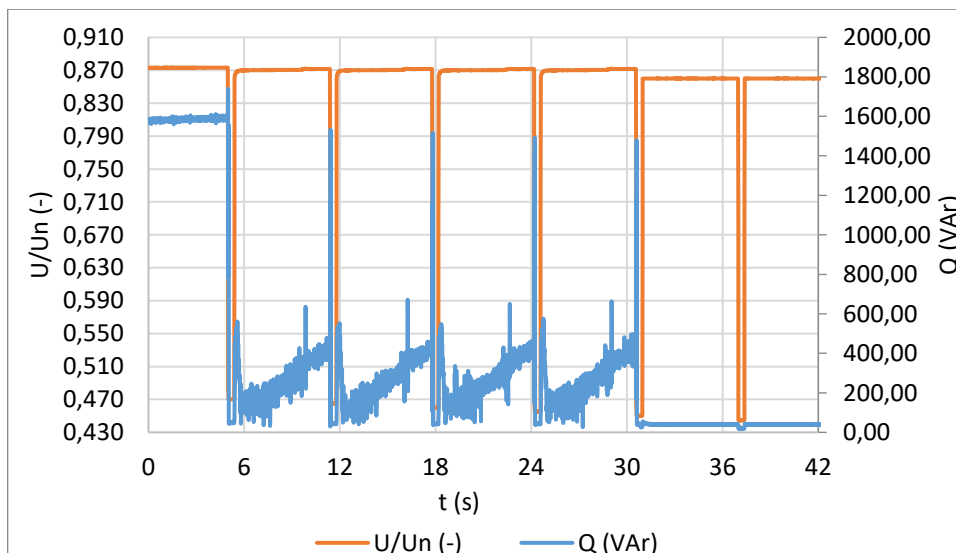


Obr.12.6: Podpěťová ochrana 1. stupeň – detail

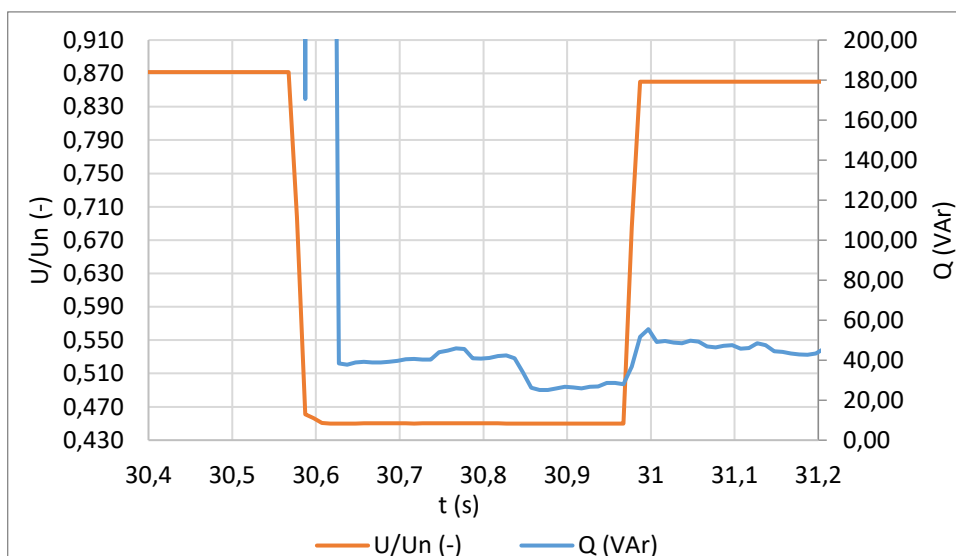
12.6. 2° podpětové ochrany

2° podpětová ochrana je testován impulzní rampou, kdy se napětí zmenšuje od hodnoty 0,47 Un po 0,05 Un až do doby vybavení ochrany.

Grafy:



Obr.12.7: Podpětová ochrana 2.stupeň

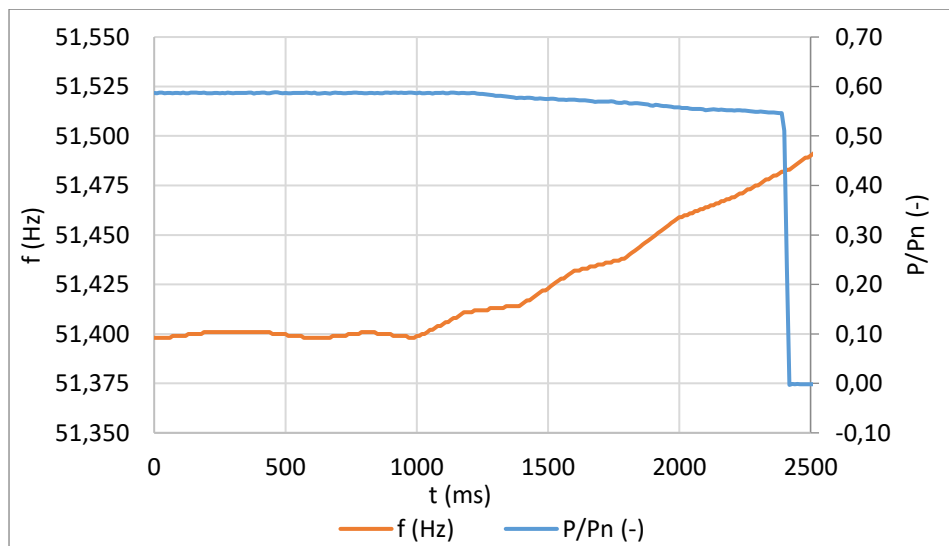


Obr.12.8: Podpětová ochrana 2.stupeň – detail

12.7. Nadfrekvenční ochrana

Nadfrekvenční ochrana (*obr.12.9*) je testována schodovou rampou, startuje se na frekvenci 51,4 Hz a s krokem 25 mHz je frekvence zvyšována až do vybavení ochrany.

Grafy:

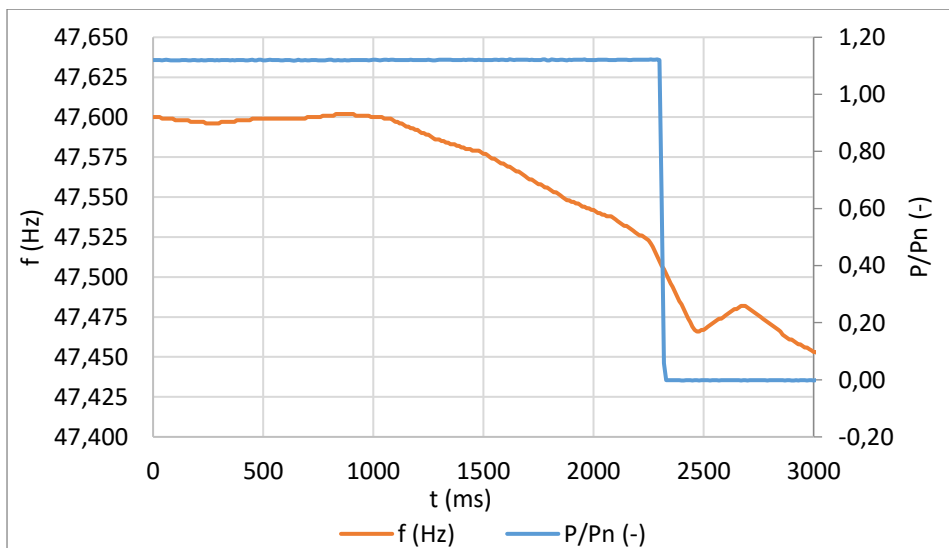


Obr.12.9: Nadfrekvenční ochrana

12.8. Podfrekvenční ochrana

Podfrekvenční ochrana (*obr.12.10*) je testována schodovou rampou, startuje se na frekvenci 47,4 Hz a s krokem 25 mHz je frekvence snižována až do vybavení ochrany.

Grafy:



Obr.12.10: Podfrekvenční ochrana

12.9. Výsledek:

Tab.12.2: Výsledky měření ochran

| Název | Prahová hodnota | Prahová hodnota -naměřená | Nastavení | Vybavení | Nejistota | Vyhovuje |
|---------------|-----------------|---------------------------|---------------|----------|-----------|----------|
| 3° nadpětová | 1,2 Un | 1,205 Un | 0,1 s | 0,14 s | + 0,2 s | ANO |
| 2° nadpětová | 1,15 Un | 1,153 Un | 5 s | 4,99 s | + 0,2 s | ANO |
| 10min ochrana | 1,11 Un | 1,114 Un | 10 min průměr | 24 s | ± 46,5 s | ANO |
| 1° podpětová | 0,7 Un | 0,698 Un | 2,7 s | 2,69 s | + 0,2 s | ANO |
| 2° podpětová | 0,45 Un | 0,45 Un | 0,2 s | 0,13 s | + 0,2 s | ANO |
| Nadfrekvenční | 51,5 Hz | 51,475 Hz | 0,1 s | 0,12 s | + 0,2 s | ANO |
| Podfrekvenční | 47,5 Hz | 47,525 Hz | 0,1 s | 0,1 s | + 0,2 s | ANO |

13. Obnovení činného výkonu po krátkodobém poklesu napětí

Legislativa: PPDS – kap.9.2.2.4; návaznost: RfG -čl.20.3, EN50549 –

13.1. Požadavek

Nesynchronní VM musí po poruše v soustavě (přechodný jev), která nevedla k odpojení VM, obnovit činný výkon na hodnotu před poruchou (nebo na maximální hodnotu s ohledem na dostupný zdroj energie) s dovolenou odchylkou +/-5% do 1 sekundy po dosažení 85% napětí v místě připojení. Pokud VM dodává během poruchy prioritně jalový výkon, obnova činného výkonu se zahájí po dosažení 95% napětí v místě připojení. A ukončí se do 1 s.

13.2. Průběh zkoušky:

Grafy:

Pro VM A1 není vyžadováno.

Obr.13.1: Obnovení činného výkonu po krátkodobém poklesu napětí

13.3. Výsledek:

| Napětí | Velikost P | Čas obnovení | Celkové vyhodnocení |
|-----------|------------|--------------|---------------------|
| > 0,85 Un | 1,0 Pn | - | NEHODNOCENO |

Závěr

V předkládané technické zprávě byly ověřeny funkce kladené na VM typu A1 PPDS a interními připojovacími podmínkami společnosti EG.D. Výsledky všech testů jsou uvedeny v technické zprávě.

Střídač vyhověl ve všech testech.

Příloha



Příloha č.1 – Nastavení střídače

| Název | Detail | Testovací (Požadované) | Jednotky |
|--|---|---------------------------|----------------------|
| Frekvenční stabilita | Schopnost střídače – nenastavuje se | | |
| RoCoF | | | |
| Snížení činného výkonu při nadfrekvenci | Prahová frekvence | 50.2 | Hz |
| | Statika | 5 | % |
| | Návratová frekvence | 50,05 | Hz |
| | Návratový gradient | 10 | %/min |
| Snížení činného výkonu při podfrekvenci | Schopnost střídače - nenastavuje se | | |
| Logický modul pro omezení dodávky | | | |
| Automatické připojení | Horní mez napětí | 1,1 | Un |
| | Dolní mez napětí | 0,85 | Un |
| | Horní mez frekvence | 50,05 | Hz |
| | Dolní mez frekvence | 47,5 | Hz |
| | Doba analýzy sítě | 300 | s |
| | Gradient | 600 (10) | $\frac{s}{(\%/min)}$ |
| Napěťová stabilita | Schopnost střídače - nenastavuje se | | |
| UVRT | Mělo by se jednat o odolnost střídače, která by se neměla nikterak nastavovat | | |
| OVRT | | | |
| Křivka P(U) | Napětí - 1 | 0,85 | Un |
| | Dodávka činného výkonu - 1 | 100 | % |
| | Napětí - 2 | 1,0 | Un |
| | Dodávka činného výkonu - 2 | 100 | % |
| | Napětí - 3 | 1,09 | Un |
| | Dodávka činného výkonu - 3 | 100 | % |
| | Napětí - 4 | 1,11 | Un |
| | Dodávka činného výkonu - 4 | 0 | % |
| Časová konstanta 3τ | 15 | s | |
| Křivka Q(U) | Napětí - 1 | 0,94 | Un |
| | Dodávka jalového výkonu - 1 | 100 | % |
| | Napětí - 2 | 0,97 | Un |
| | Dodávka jalového výkonu - 2 | 0 | % |
| | Napětí - 3 | 1,05 | Un |
| | Odběr jalového výkonu - 3 | 0 | % |
| | Napětí - 4 | 1,08 | Un |
| | Odběr jalového výkonu - 4 | -100 | % |
| Časová konstanta 3τ | 60 | s | |

| | | | |
|------------------------------------|---------------------------|------|----|
| Nadpětí 3. stupeň | Prahová hodnota napětí | 1,2 | Un |
| | Zpoždění | 0,1 | s |
| Nadpětí 2. stupeň | Prahová hodnota napětí | 1,15 | Un |
| | Zpoždění | 5 | s |
| Nadpětí 1. stupeň - 10 min ochrana | Prahová hodnota napětí | 1,11 | Un |
| Podpětí 1.stupeň | Prahová hodnota napětí | 0,7 | Un |
| | Zpoždění | 2,7 | s |
| Podpětí 2.stupeň | Prahová hodnota napětí | 0,45 | Un |
| | Zpoždění | 0,2 | s |
| Nadfrekvence | Prahová hodnota frekvence | 51,5 | Hz |
| | Zpoždění | 0,1 | s |
| Podfrekvence | Prahová hodnota frekvence | 47,5 | Hz |
| | Zpoždění | 0,1 | s |

Příloha č.2 – Datasheet



**NOVINKA SOLAX
X1-BOOST G4**

X1-BOOST G4
2.5kW / 3.0kW / 3.3kW / 3.6kW
4.0kW / 4.2kW / 5.0kW / 6.0kW

info@solaxpower.com
service@solaxpower.com

Funkce

Vynikající výkon

- DC vstup: 200% předimenzování, proud 16A, startovací napětí 50V
- Vestavěný globální sken MPP pro vyšší efektivitu výnosu

Uživatelsky přívětivé monitorování

- 10s interval aktualizace dat (volitelně, je vyžadován nový WiFi dongle)
- Rychlá a snadná konfigurace (WiFi&APP)

Zaručená bezpečnost ~ Spolehlivost

- Vestavěný AC/DC SPD typu II (volitelně) a podpora diagnostiky křivky I-V
- Volitelně externí RSD (Rapid Shutdown) a integrovaná DC AFCI ochrana (volitelná)
- Vestavěná funkce kontroly exportu

Skvělá přizpůsobivost

- Kompatibilita domácí nabíječky elektromobilů a tepelného čerpadla
- Hromadná správa a široké rozšíření přes Datahub
- Podporováno paralelní řešení Master/Slave přes Modbus

Contact Us for More Information

www.solaxpower.com Global: +86 571-56260008
AU: +61 1300 476529 UK: +44 2476 586998
DE: +49 6142 4091664 NL: +31 (0) 852 737932



X1-BOOST G4

| | X1-BOOST-2.5K-G4 | X1-BOOST-3K-G4 | X1-BOOST-3.3K-G4 | X1-BOOST-3.6K-G4 | X1-BOOST-4K-G4 | X1-BOOST-4.2K-G4 | X1-BOOST-5K-G4 | X1-BOOST-6K-G4 | |
|--|--|----------------|------------------|------------------|----------------|------------------|----------------|----------------|--|
| DC VSTUP | | | | | | | | | |
| Max. PV výkon [Wp] | 6000 | 6000 | 6600 | 7200 | 8000 | 8000 | 10000 | 12000 | |
| Max. Vstupní napětí FV [V] | 600 | 600 | 600 | 600 | 600 | 600 | 600 | 600 | |
| Startovací napětí [V] | 50 | 50 | 50 | 50 | 50 | 50 | 50 | 50 | |
| Jmenovité vstupní napětí [V] | 360 | 360 | 360 | 360 | 360 | 360 | 360 | 360 | |
| Rozsah napětí sledovače MPP [V] | 40-560 | 40-560 | 40-560 | 40-560 | 40-560 | 40-560 | 40-560 | 40-560 | |
| Počet sledovačů MPP / fázicek na sledovač MPP | | | | | 2 / 1 | | | | |
| Max. PV vstupní proud [A] | | | | | 16 / 16 | | | | |
| Isc PV Array Zkratový proud [A] | | | | | 22 / 22 | | | | |
| AC VÝSTUP | | | | | | | | | |
| Jmenovitý AC výstupní výkon [W] | 2500 | 3000 | 3300 | 3680 | 4000 | 4200 | 5000* | 6000 | |
| Jmenovitý AC výstupní proud [A] | 10.9 | 13.1 | 14.4 | 16 | 17.4* | 18.3 | 21.7 | 26.1 | |
| Max. Zdánlivý výkon AC výstupu [VA] | 2750 | 3300 | 3630 | 4048* | 4000 | 4620 | 5000* | 6000 | |
| Max. AC výstupní proud [A] | 12 | 14.4 | 15.8 | 17.6* | 17.4* | 20.1 | 21.7* | 27.3 | |
| Jmenovité střídavé napětí / rozsah střídavého napětí [V]** | 220/230/240,90-290 | | | | | | | | |
| Nominální frekvence střídavého proudu/frekvenční rozsah střídavého proudu [Hz]** | 50/60;±5 | | | | | | | | |
| Účinek | 0,8 kapacitní ~ 0,8 induktivní | | | | | | | | |
| THDi (jmenovitý výkon) [%] | <3 | | | | | | | | |
| SYSTÉMOVÁ DATA | | | | | | | | | |
| Max. Účinnost [%] | 98 | | | | | | | | |
| Euro. Účinnost [%] | 97 | | | | | | | | |
| Spotřeba v pohotovostním režimu [W] @Noc | <3 | | | | | | | | |
| IP ochrana | IP66 | | | | | | | | |
| Rozsah provozní okolní teploty [°C] | -25-60 | | | | | | | | |
| Max. provozní nadmořská výška [m] | 4000 | | | | | | | | |
| Relativní vlhkost [%] | 0-100 | | | | | | | | |
| Typická emise hluku [dB] | 25† | | | | | | | | |
| Skladovací teplota [°C] | -30-70 | | | | | | | | |
| Rozměry (Š x V x H) [mm] | 404x274x146 | | | | | | | | |
| Váha [kg] | 11 | | | | | | | | |
| Koncept chlazení | Pasivní chlazení | | | | | | | | |
| Komunikační rozhraní | USB/RS485/DRM, Volitelné: Meter/CT * | | | | | | | | |
| Volitelný monitorovací dongle | Pocket WiFi/LAN/4G | | | | | | | | |
| Zobrazení | 2 x LED + LCD (16 x 2) / APP | | | | | | | | |
| OCHRANA | | | | | | | | | |
| Ochrana proti přepětí / podpětí | Ano | | | | | | | | |
| Detekce izolace na DC | Ano | | | | | | | | |
| Monitorování unikajících proudů | Ano | | | | | | | | |
| Monitorování AC sítě | Ano | | | | | | | | |
| Monitorování stejnosměrné složky do AC | Ano | | | | | | | | |
| Monitorování proudu zpětného napájení | Ano | | | | | | | | |
| Detekce zbytkového proudu | Ano | | | | | | | | |
| Ochrana proti ostromu | Ano | | | | | | | | |
| Ochrana proti přehřátí | Ano | | | | | | | | |
| SPD (DC/AC) | Typ II / Typ II (volitelné) | | | | | | | | |
| Přerušovač obvodu při obloukovém zkratu (AFCI) | Volitelný | | | | | | | | |
| AC pomocný napájecí zdroj (APS) | Volitelný | | | | | | | | |
| DC spínač | Volitelný | | | | | | | | |
| STANDARD | | | | | | | | | |
| Bezpečnost | IEC / EN 62109-1 / -2 | | | | | | | | |
| EMC | EN61000-6-1 / 2 / 3 / 4, EN61000-3-2 / 3 / 11 / 12 | | | | | | | | |
| Certifikace | IEC61727, EN50549, G98/G99, AS 4777-2, VDE4105, CEI 0-21, VFR, PPDS, TOR | | | | | | | | |

† 1000 0400 for VDE4105, † 1000 0400 for VDE4105, † 21.7 dB for VDE4105, † 41.08 (3680) For SDR/DRM, TOR and PFDG, † 41.08 (3680) For SDR/DRM, TOR and PFDG, † 41.08 (3680) For SDR/DRM, TOR and PFDG, † 41.08 (3680) For SDR/DRM, TOR and PFDG
 * V2.3 information may be subject to modify without notice 460 000/00
 † Not included in the package. Please purchase additionally. ** The AC voltage and/or frequency range may vary from different country codes.